

Yagi antenna szimulációja

Nyiri Levente

2026. január

Tartalomjegyzék

1. Bevezetés	2
2. Elméleti ismeretek összefoglalása	3
3. Tervezés	4
4. Összefoglalás	10

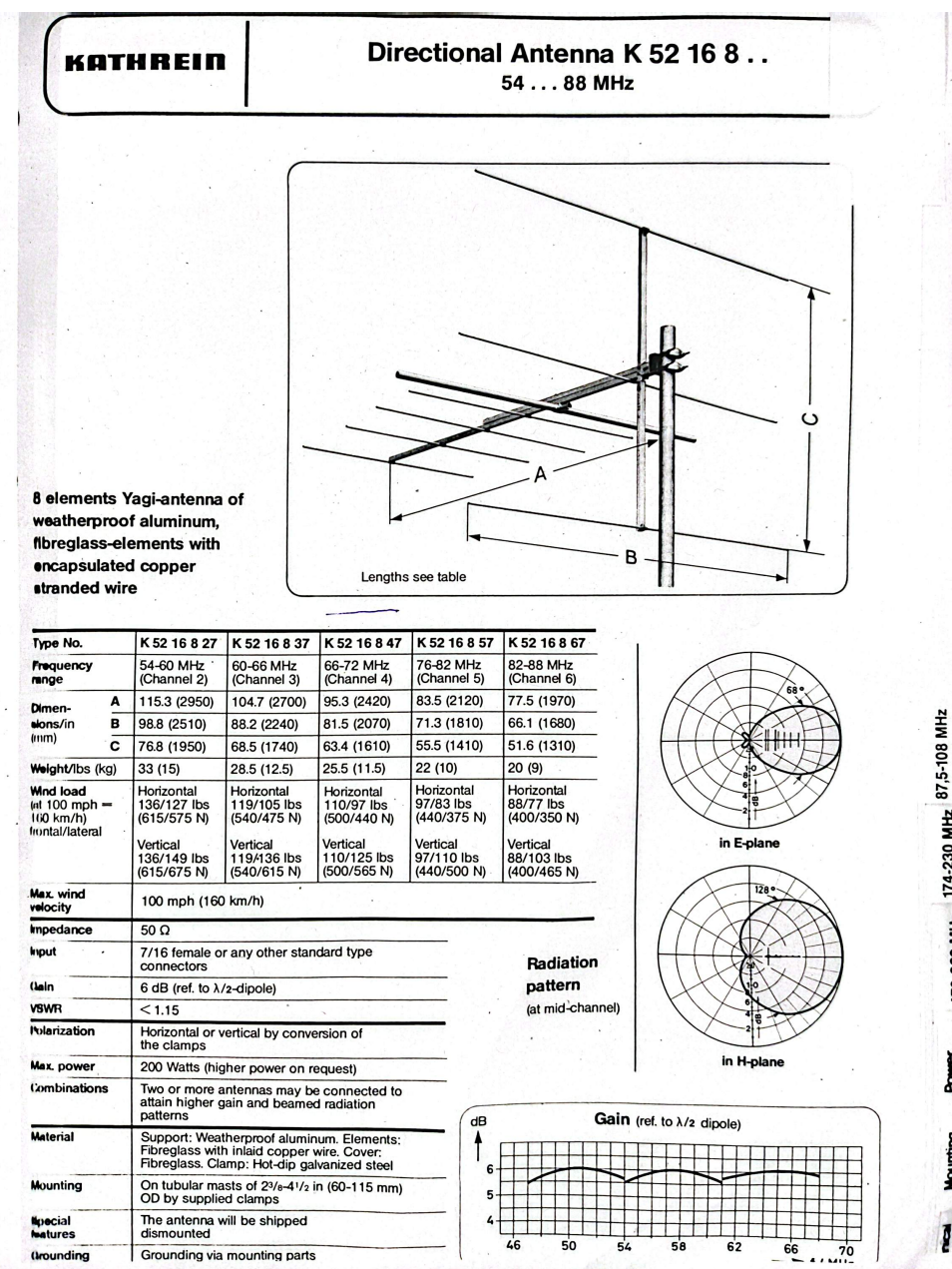
1. Bevezetés

A Yagi-Uda antennát Shintaro Uda találta fel az 1920-as években, viszont eredményeit japánul dokumentálta, így a világ többi részén csak akkor lett ismert, amikor Hidetsuru Yagi leírta az eredményeit angolul is. Annak ellenére, hogy kreditálta Uda munkáját, az antennára leggyakrabban csak Yagi antennaként hivatkoznak.

Ez egy antenna rendszer, amelyben egy dipólantennát vesznek körül parazita elemekkel, hogy jobb irányítottságot érjenek el.

Az elmúlt évtizedekben ez lett a legelterjedtebb antenna TV vételére VHF és UHF sávokon.

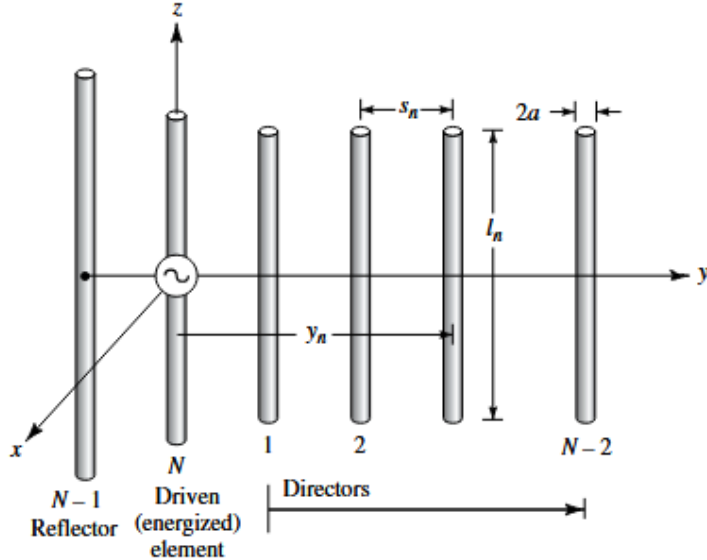
Én a feladatomhoz kaptam a Tanár Úrtól egy dokumentumot, amelyben különböző Yagi antenna dimenziók vannak megadva VHF sávon, ebből fogok kiindulni, egy 58MHz-s antennát fogok tervezni a K 52 16 8 27-es oszlop alapján.



1. ábra. Antenna dimenziók

2. Elméleti ismeretek összefoglalása

Egy Yagi antenna 3 részből áll: egy reflektorból (ritkán alkalmaznak többet, mivel jelentősen nem javítja a reflektivitást, jelen esetben pont 3 lesz), egy táplált félhullámú dipólból (a továbbiakban DE, mint driven element-ként fogok rá hivatkozni) és egy vagy több direktorból. A felépítést a 2. ábra mutatja. A DE leggyakrabban egy hajlított dipólus, én a szimulációban egyszerű vezetéket alkalmaztam.



2. ábra. Yagi antenna általános felépítése [1]

A reflektor valamivel nagyobb, mint a DE, a direktorok pedig valamivel kisebbek.

A sugárzási irány a direktorok irányába mutat, és minél több direktort használunk, annál jobb az irányító hatás, bár egy bizonyos szám fölött már elhanyagolható a javulás, inkább több Yagi antenna egymás mellé rakásával szoktak függönyantennát létrehozni.

Mivel a reflektor hosszabb mint a DE, ezért az impedanciája induktív lesz, a direktoroké (mivel ők pedig rövidebbek) kapacitív. Ez egy fázisprogresszióhoz fog vezetni az antenna mentén, amely hasonló lesz egy haladóhulláméhoz, a DE terét a direktorok irányába fogja erősíteni.

A Yagi antenna rendszerre tekinthetünk egy olyan struktúraként, amely egy haladóhullámot támogat, amelynek a teljesítménye az egyes elemek árameloszlásán és a fázissebességen múlik [1].

3. Tervezés

A tervezés során a céлом, hogy eredményképpen egy olyan antennát kapjak, amely tükrözi a(z) 1. ábrát, tehát:

- **VSWR:** $< 1,15$.
- **Gain:** Legalább 6 dBi.
- **Bemeneti impedancia:** 50Ω .
- **Iránykarakterisztika:** A 1. ábrához hasonló.

Az adott értékek:

Szimbólum	Leírás	Érték[m]
A	Reflektor és utolsó direktor távolsága	2.95
B	Reflektor hossza	2.51
C	Reflektorok távolsága Z síkban	1.95

1. táblázat. Az adott dimenziók

A szimulációt szabadtérben végeztem, a vezető anyagának rezet adtam meg, a kábelek sugarát 0.0025λ -nak választottam.

Parazitikus elemek jelenlétében a DE optimális hossza nem pontosan 0.5λ , hanem valahol $0.45\text{--}0.49\lambda$ között van [1].

Bár az "Antenna Theory Analysis and Design" könyv azt írja, hogy tipikusan a direktorok között $0.3\text{--}0.4\lambda$ hely van, ez jelen esetben nem megvalósítható, mivel a reflektor és az utolsó direktor közti távolság adott, és túl nagy lenne a lépésköz. Más forrásokban azt találtam, hogy $0.25\text{--}0.005\lambda$ közti távolságokat gyakran alkalmaznak [2].

Az optimális tervhez a direktorok közti távolság nem konstans. Kiindulásképpen beállítottam ezeket a távolságokat megfelelő kompromisszumnak tünnő értékekre.

Chen és Cheng kutatásán megihletődve ezután a 4nec2 optimizer-ének használatával optimalizáltam a távolságokat a direktorok között, először csak az SWR-re és a reaktanciára egyenlő súllyal. Ezután megadtam paramétereket a DE és a direktor hosszát is, a DE és a reflektor távolságát, és a DE-direktor illetve a direktorok távolságát, és előre-hátra viszonyra, SWR-re és reaktanciára egyenlő súlyokkal optimalizáltam még egyszer [3].

Az eredeti és az optimalizált értékeket a 2. táblázat mutatja.

Paraméter	Eredeti érték	Optimalizált érték
Sugárzó hossza (DE)	0.48λ	0.48λ
Direktorok hossza	0.45λ	0.45λ
Reflektor-DE távolság	0.15λ	0.2λ
Sugárzó-D1 távolság	0.15λ	0.15λ
D1-D2 távolság	0.1λ	0.083λ
D2-D3 távolság	0.08λ	0.054λ
D3-D4 távolság	0.06λ	0.062λ

2. táblázat. A Yagi antenna eredeti és optimalizált paraméterei

Optimalizálás előtt a VSWR 4.45dB volt, utána 1.14, tehát jelentősen javult a geometriának az enyhe módosításával, anélkül, hogy a nyereséget negatívan befolyásolta volna. Az is látszik, hogy a DE és a direktorok hossza nem változott (illetve csak olyan csekély mértékben, hogy λ -ban kifejezve elhanyagolható).

Filename	<u>Yagi_Nyiri-Levente_E</u>	Frequency	58	Mhz
		Wavelength	5.169	mtr
Voltage	57.9 + j 0 V	Current	1.73 - j 2.24 A	
Impedance	12.5 + j 16.2	Series comp.	169.4	pF
Parallel form	33.5 // j 25.8	Parallel comp.	106.4	pF
S.W.R.50	4.45	Input power	100	W
Efficiency	99.3 %	Structure loss	695.8	mW
Radiat-eff.	98.98 %	Network loss	0	uW
RDF [dB]	9.47	Radiat-power	99.3	W

(a) Eredeti adatokkal mért eredmények

Filename	<u>YAGI_NYIRI-LEVEN</u>	Frequency	58	Mhz
		Wavelength	5.169	mtr
Voltage	66.3 + j 0 V	Current	1.51 - j 7e-5 A	
Impedance	44 + j 2e-3	Series comp.	1.4e6	pF
Parallel form	44 // j 1.e6	Parallel comp.	3.e-3	pF
S.W.R.50	1.14	Input power	100	W
Efficiency	100 %	Structure loss	0	uW
Radiat-eff.	100 %	Network loss	0	uW
RDF [dB]	9.5	Radiat-power	100	W

(b) Optimalizált adatokkal mért eredmények

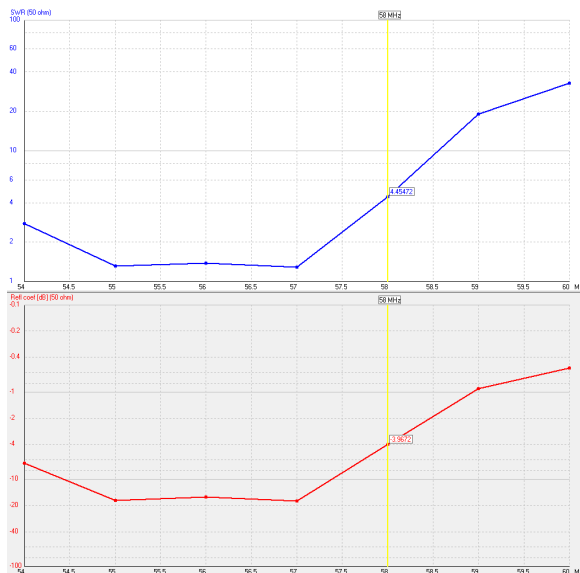
3. ábra. Eredeti és optimalizált állapot

A reflektor és a DE távolsága főként az előre-hátra viszonyra és a bemeneti impedanciára van hatással [1], szóval kíváncsiságából minden mást változatlanul hagyva megváltoztattam a reflektor-DE távolságot 0.2 λ -ra, és már így is 2.4-re javult a VSWR.

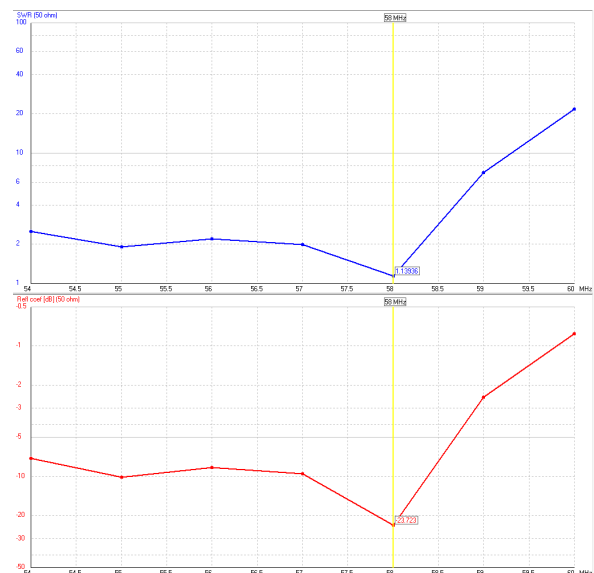
A következő ábrákon a feszültség függvényében látható az SWR (4. ábra), a nyereség, front-to-back és front-to-rear ratio (5. ábra), valamint az impedancia (6.ábra) .

A 7. ábrán látható az iránykarakterisztika.

Az utánuk következő ábrákon pedig az antenna 3D modellje, az egyes szegmenseken folyó áramok nagysága és fázisa (8. ábra), valamint a távoltér 3D reprezentációja látható (9. ábra).

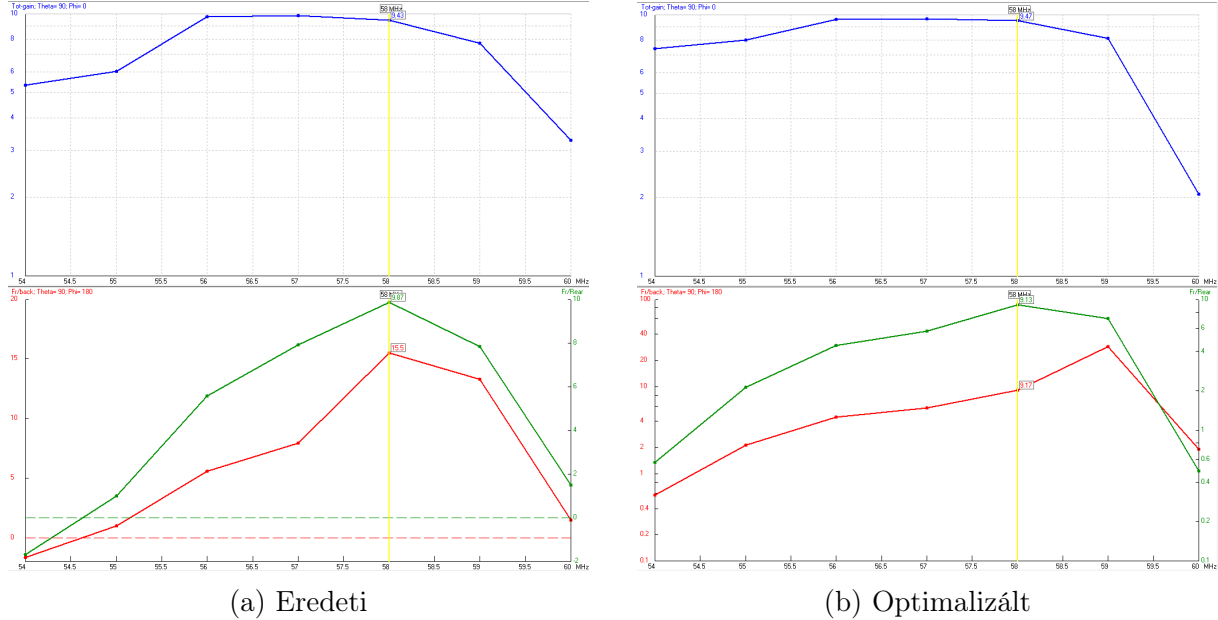


(a) Eredeti

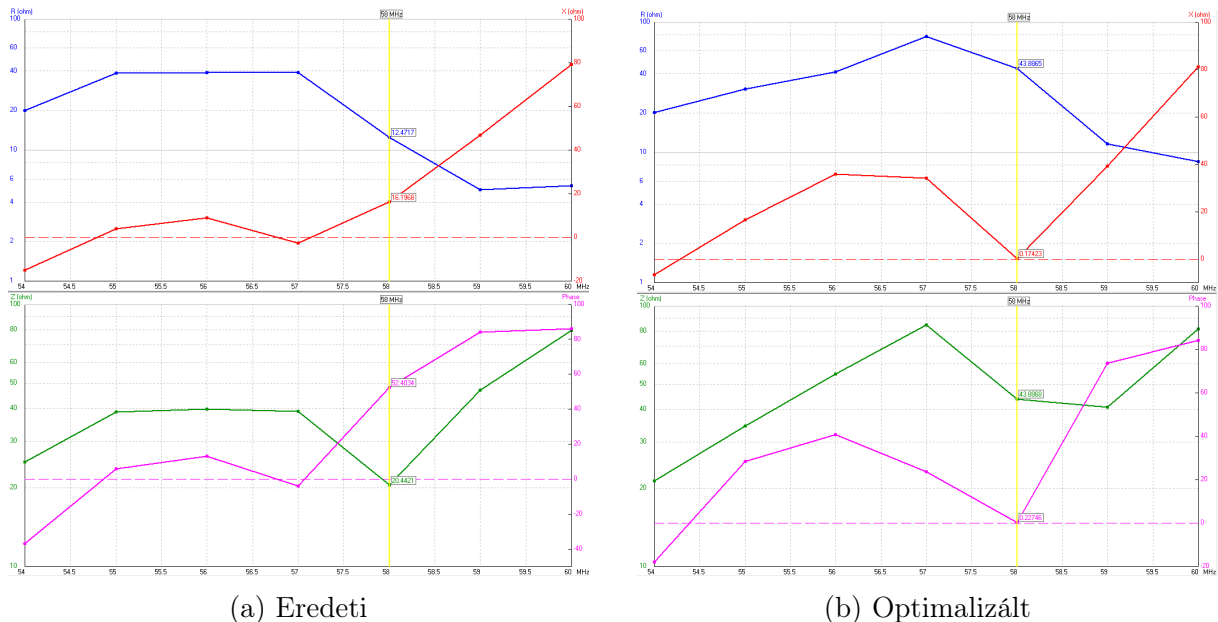


(b) Optimalizált

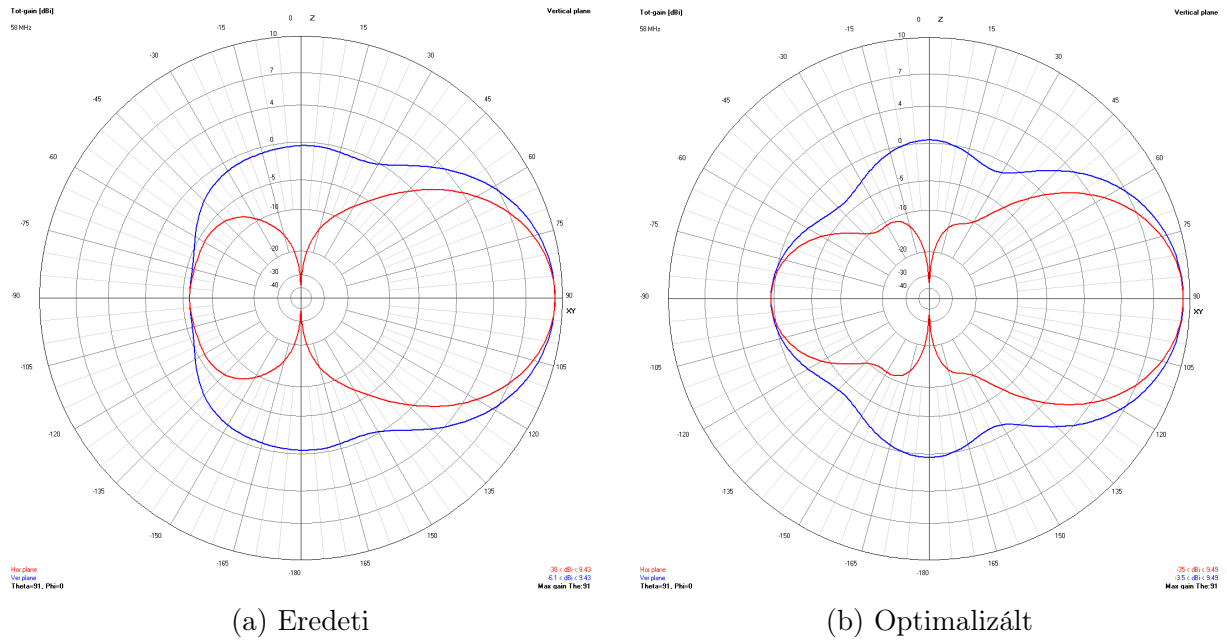
4. ábra. Eredeti és optimalizált SWR és reflexiós tényező frekvencia függvényében



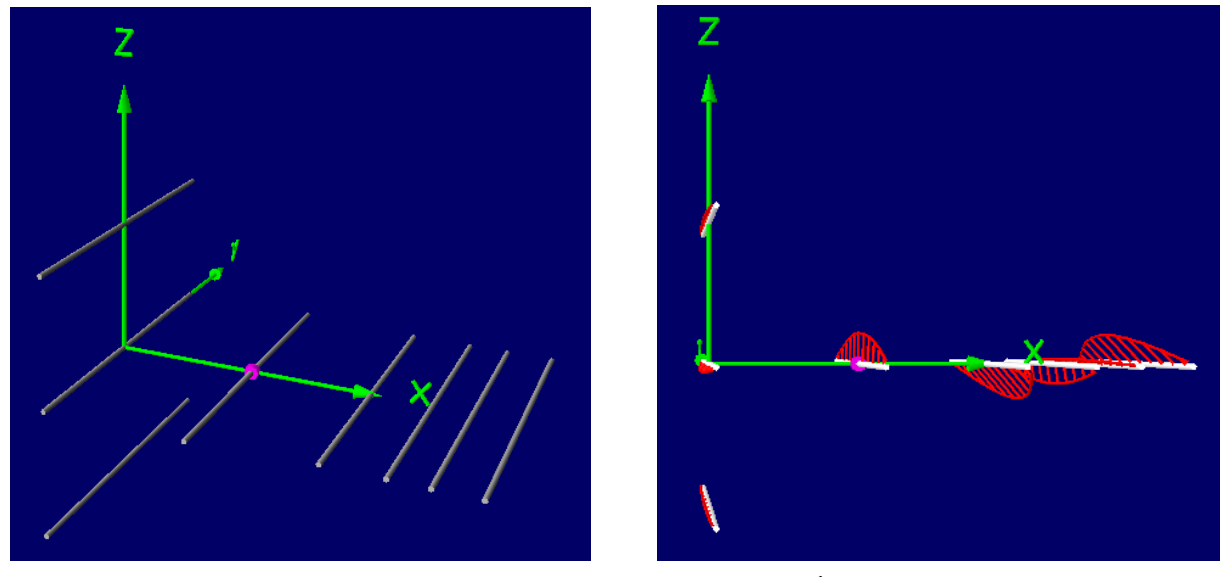
5. ábra. Eredeti és optimalizált nyereség és F/B valamint F/R



6. ábra. Eredeti és optimalizált ellenállás, reaktancia, impedancia és fázis



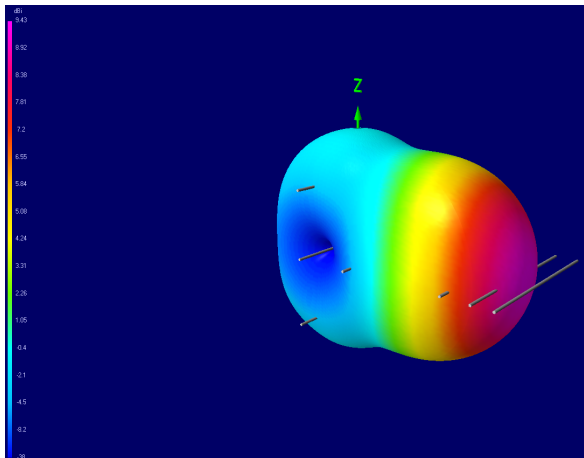
7. ábra. Eredeti és optimalizált iránykarakterisztika



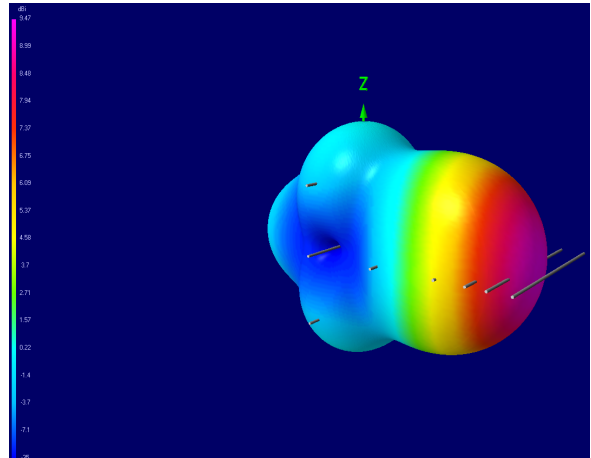
(a) 3D modell

(b) Áram nagysága és fázisa

8. ábra. 3D modell és a szegmenseken folyó áramok



(a) Eredeti



(b) Optimalizált

9. ábra. Távoltér 3D szimulációja

Eredmények értékelése

Az 5. és 7. ábrán látszik, hogy az optimalizálás során romlott az előre-hátra viszony, 15.5dB-ről 9.17dB lett. Ez sajnos egy kompromisszum amit el kell fogadnunk az SWR javulásáért cserébe.

A 8b. ábrán jól látszik, hogy a reflektoron $\sim -120^\circ$ a fázis, az első direktoron pedig $\sim 120^\circ$, tehát a reflektornak induktív, a direktornak kapacitív az impedanciája.

A célkitűzés az volt, hogy a VSWR legyen kisebb mint 1.15, a Gain nagyobb mint 6dBi, bemeneti impedancia 50Ω és az 1. ábrához hasonló legyen az iránykarakterisztika.

A kitűzött és az elért értékeket a következő táblázat mutatja.

Paraméter	Kitűzött érték	Elért érték
VSWR	<1.15	1.14
Gain	>6dBi	9.47dBi
Bemeneti impedancia	50Ω	43.89Ω
Θ_E	68°	62°
Θ_H	128°	50°

3. táblázat. Eredmények

A nyereség és a VSWR kiváló lett, az előre-hátra viszonyon és a főnyalábszélességen még lehetne javítani (már ha az a cél, hogy H síkban 128° legyen).

4. Összefoglalás

Hivatkozások

- [1] C. A. Balanis, *Antenna Theory: Analysis and Design*, 3rd. Hoboken, NJ: John Wiley & Sons, 2005, ISBN: 978-0471667827.
- [2] Telecom Training, *Yagi-Uda Antenna Design: Steps by step guide*, YouTube videó, Közzétéve: 2024. október 23. Megtekintve: [Dátum], 2024. okt. cím: <https://www.youtube.com/watch?v=PglR3pEFdDk>.
- [3] D. K. Cheng és C. A. Chen, „Optimum Spacings for Yagi-Uda Arrays”, *IEEE Transactions on Antennas and Propagation*, 21. évf., 5. sz., 615–623. old., 1973. szept. DOI: 10.1109/TAP.1973.1140561.